

Fig. 1.

2/28

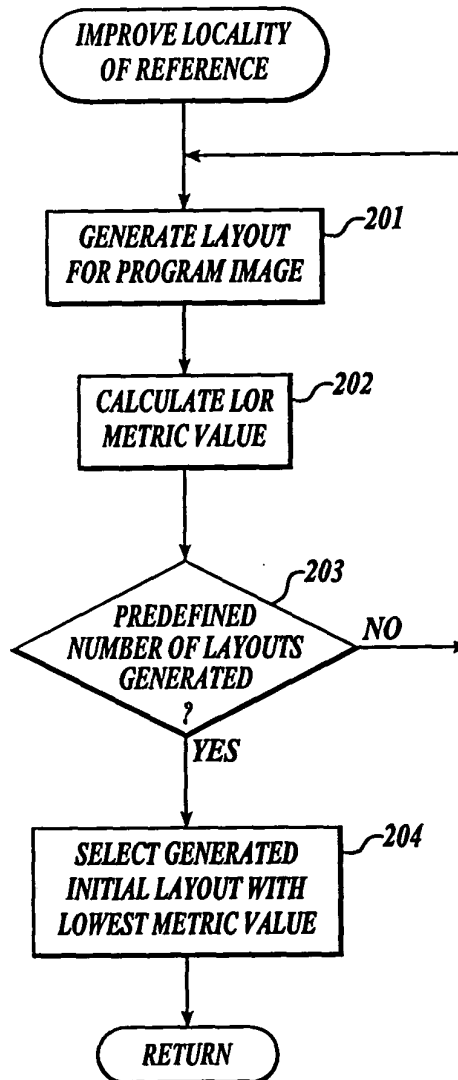


Fig. 2.

3/28

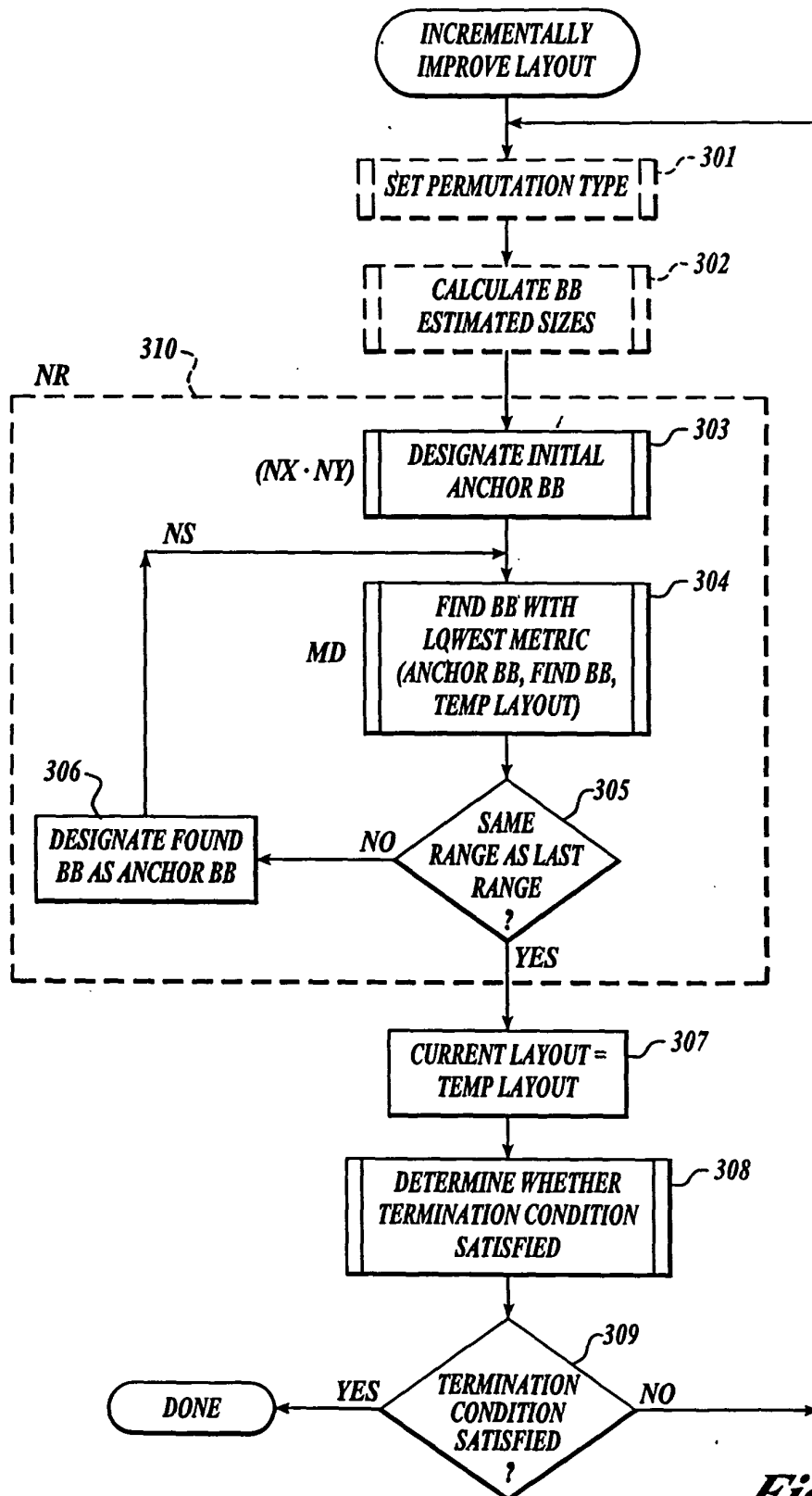


Fig. 3.

4/28

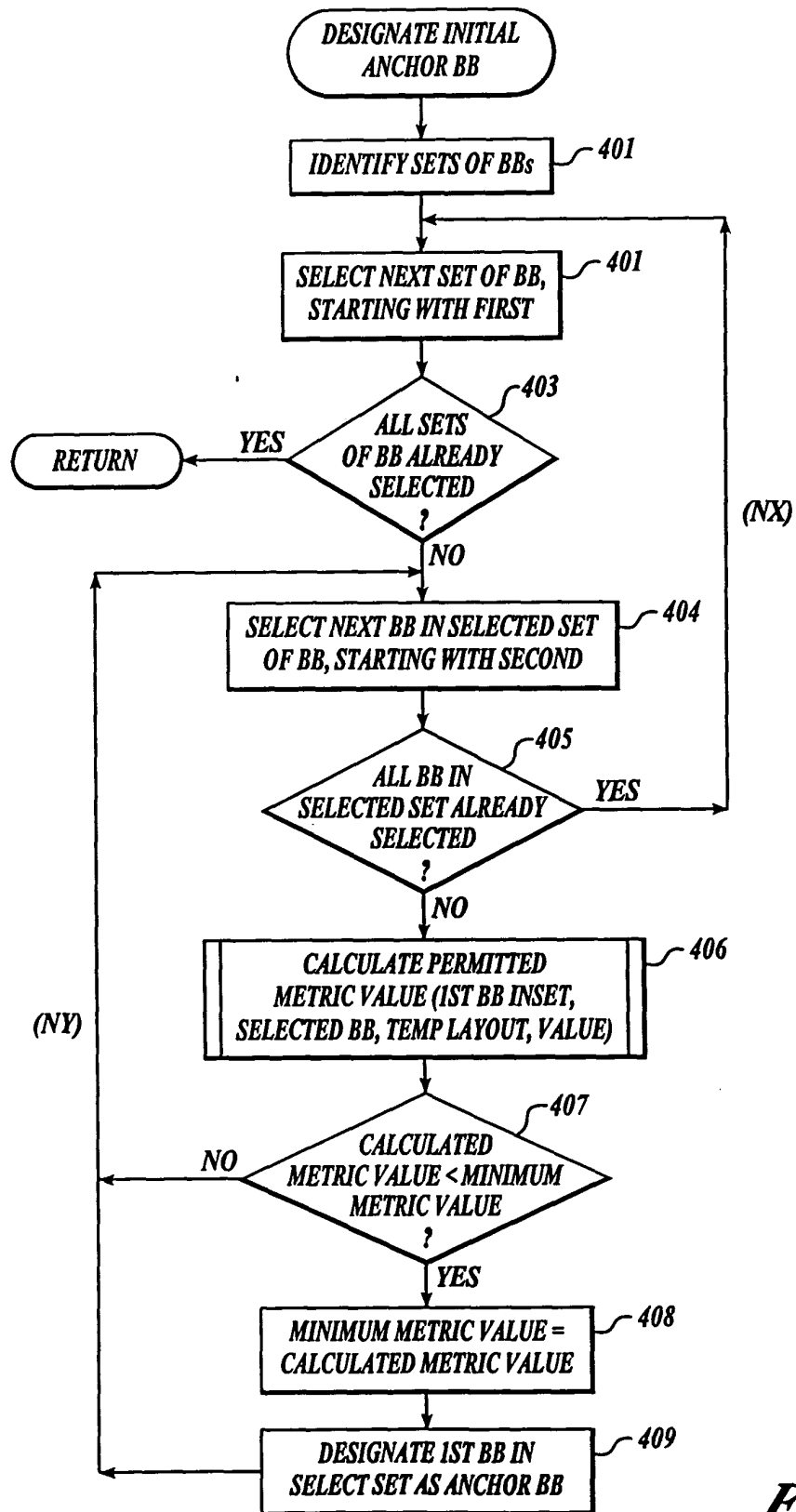


Fig. 4.

5/28

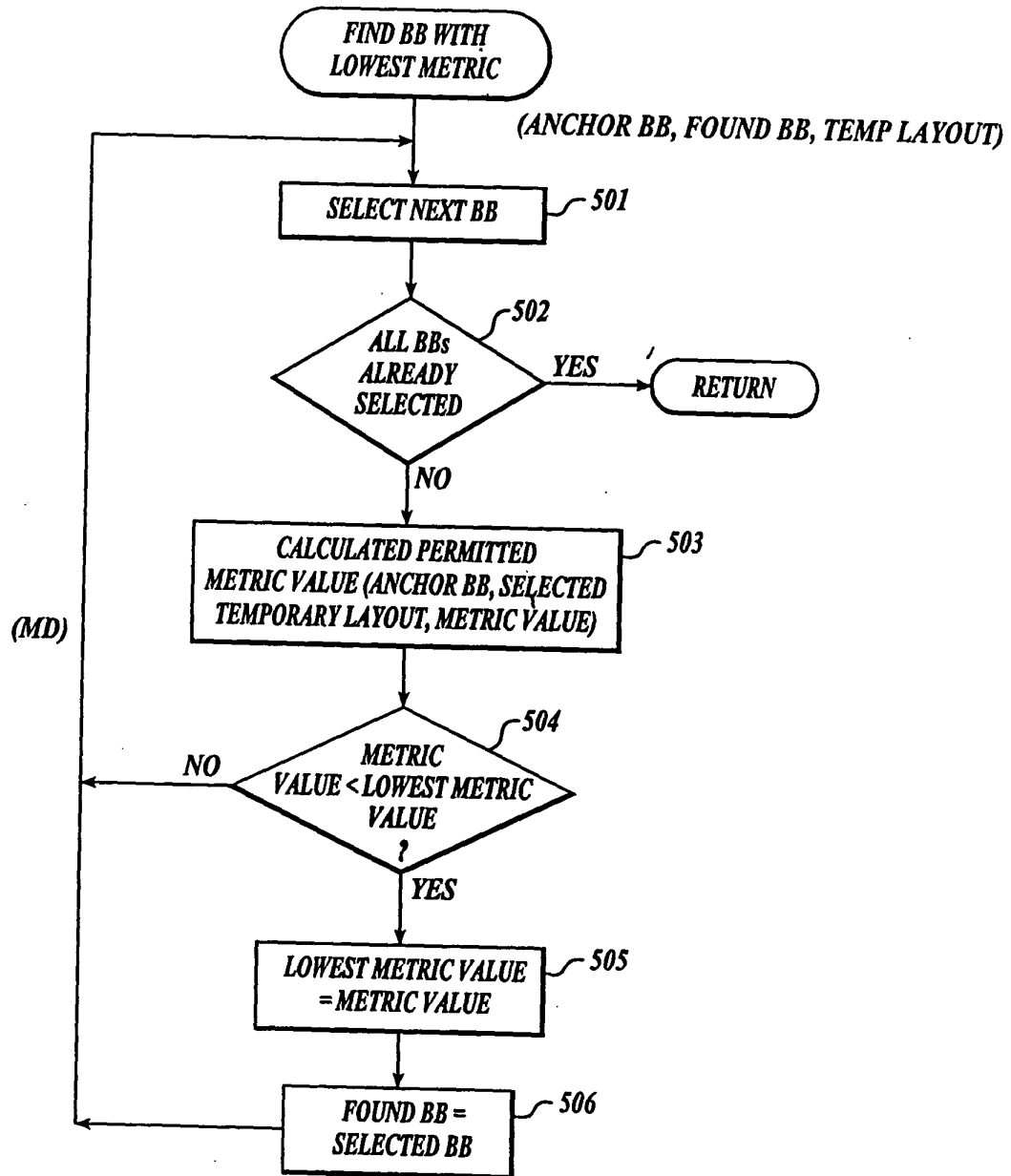


Fig. 5.

6/28

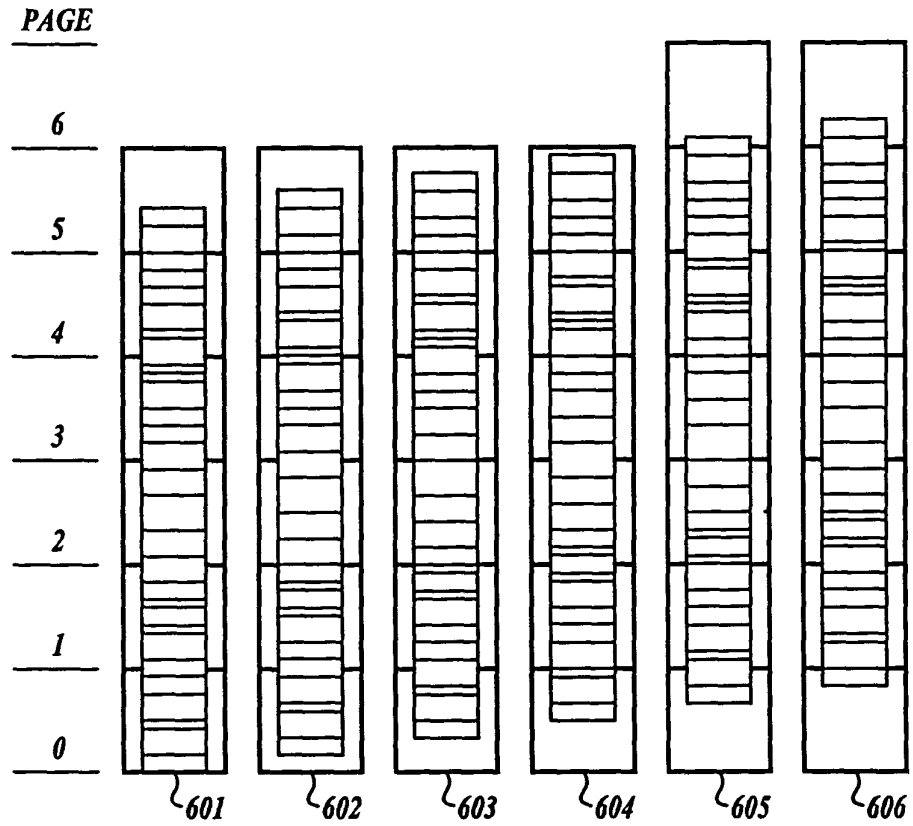


Fig. 6.

7/28

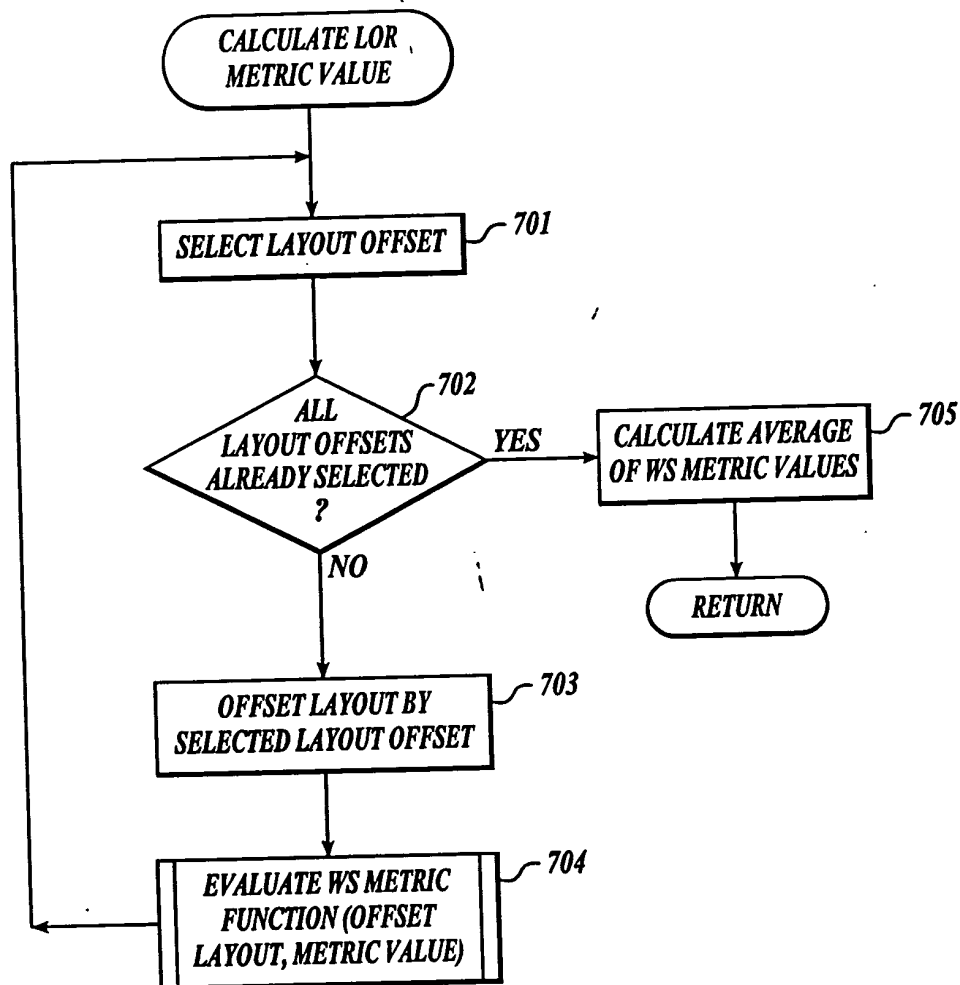


Fig. 7.

8/28

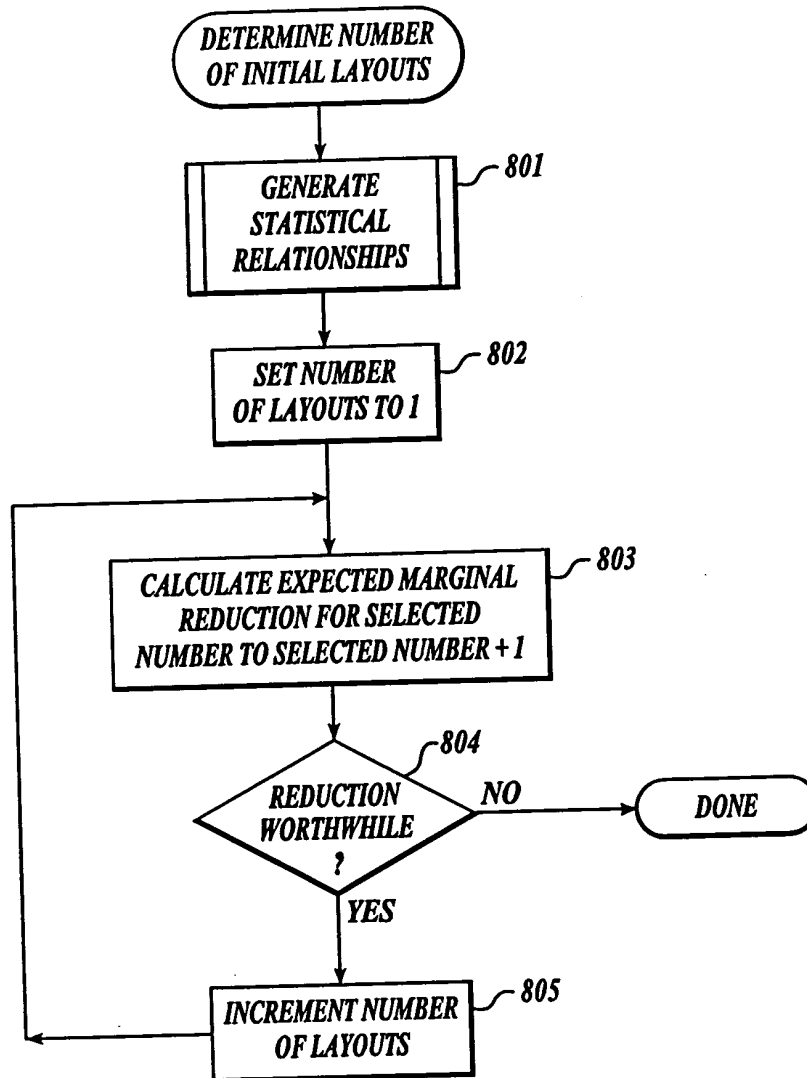


Fig. 8.

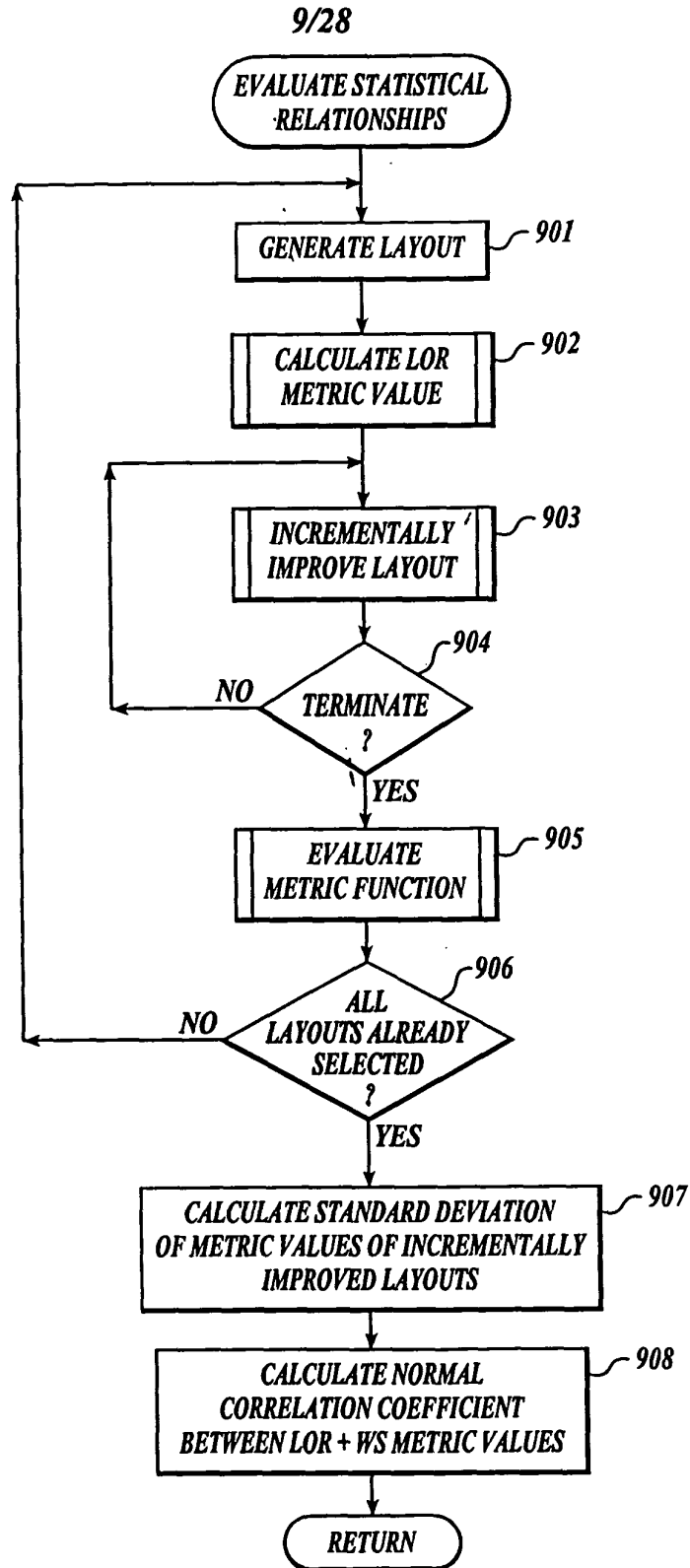


Fig. 9.

10/28

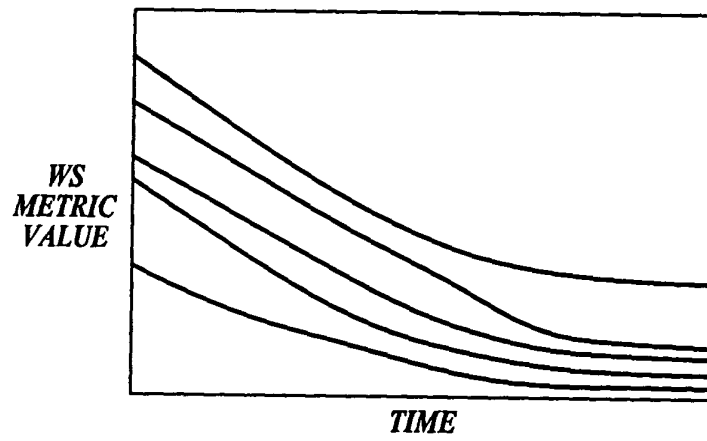


Fig. 10A.

11/28

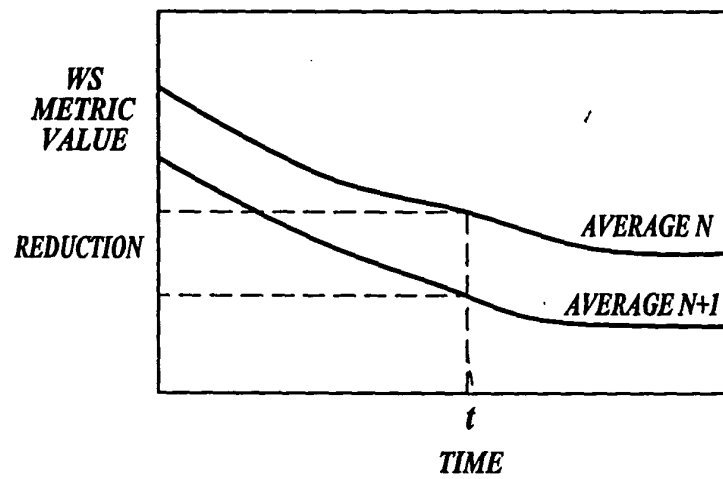


Fig. 10B.

12/28

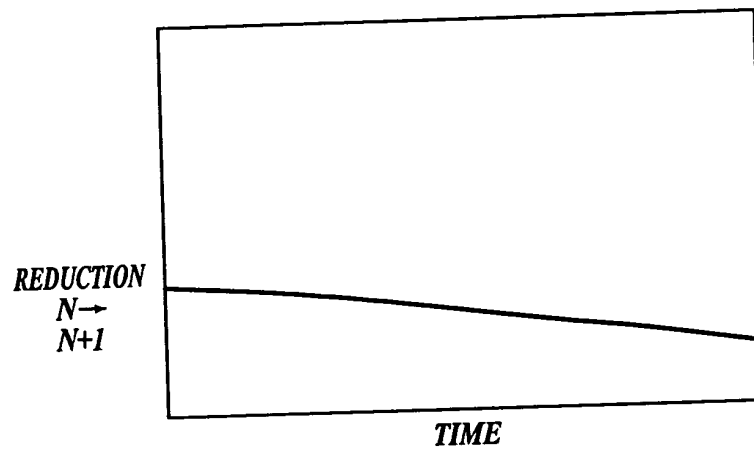


Fig. 10C.

13/28

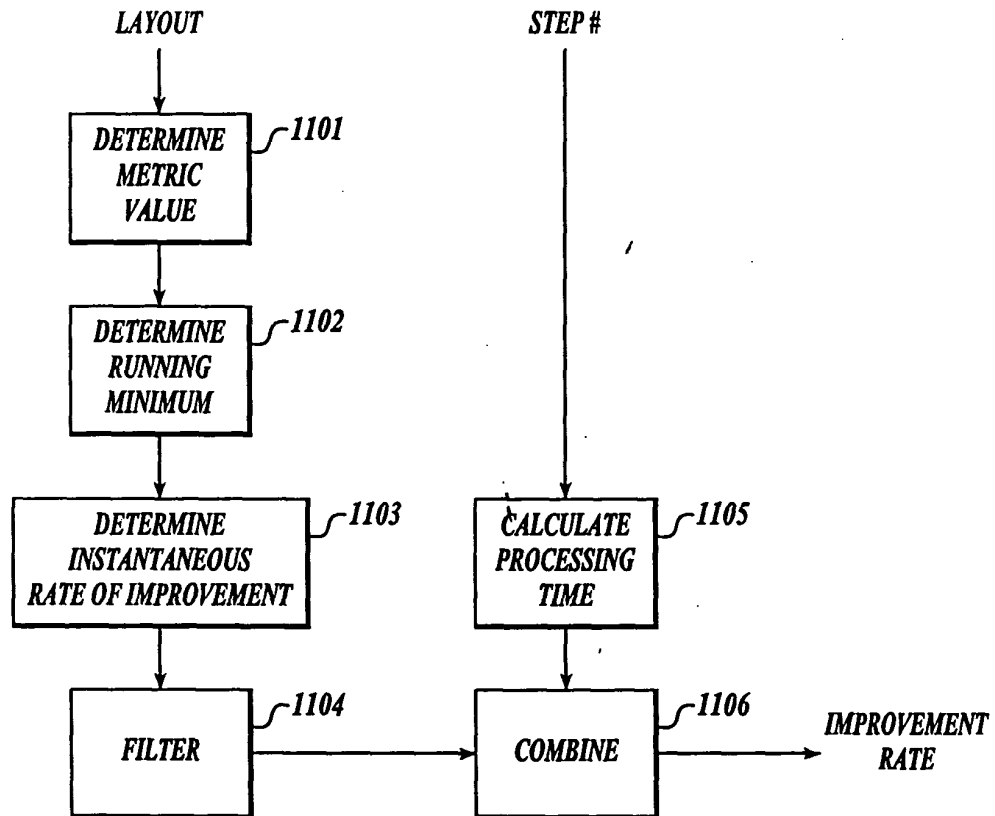


Fig. 11.

14/28

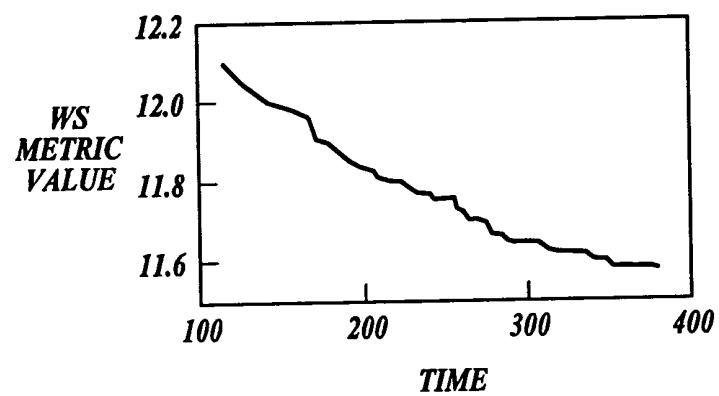


Fig. 12A.

15/28

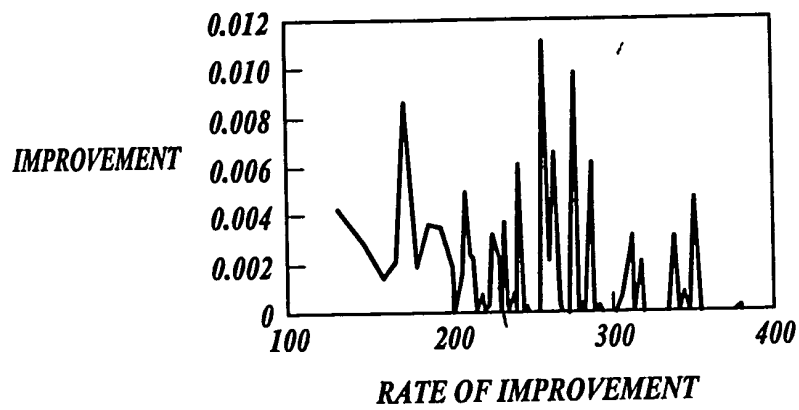


Fig. 12B.

16/28

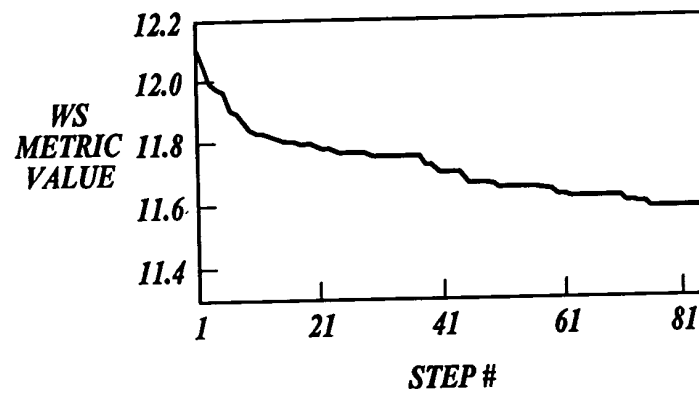


Fig. 12C.

17/28

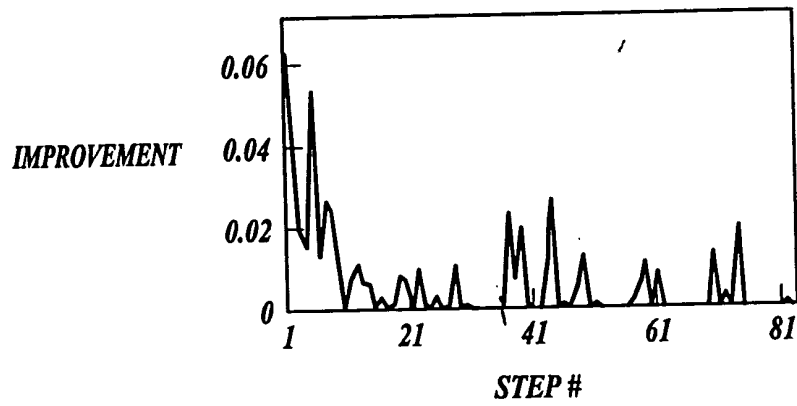


Fig. 12D.

18/28

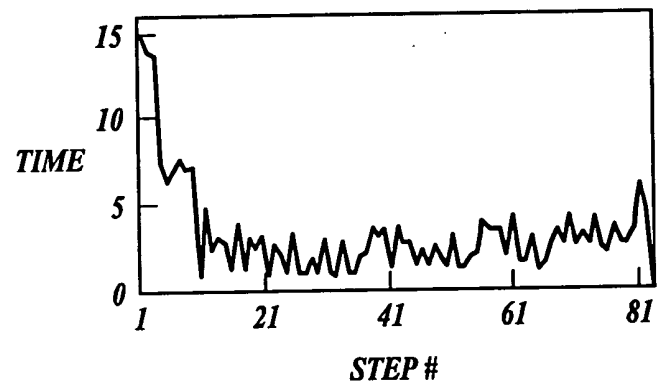


Fig. 12E.

19/28

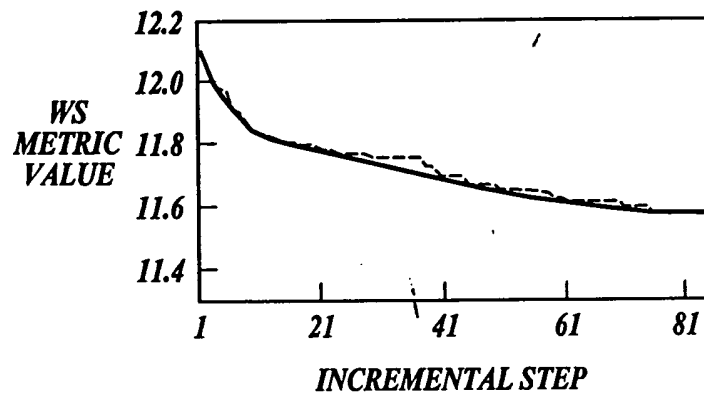


Fig. 13.

20/28

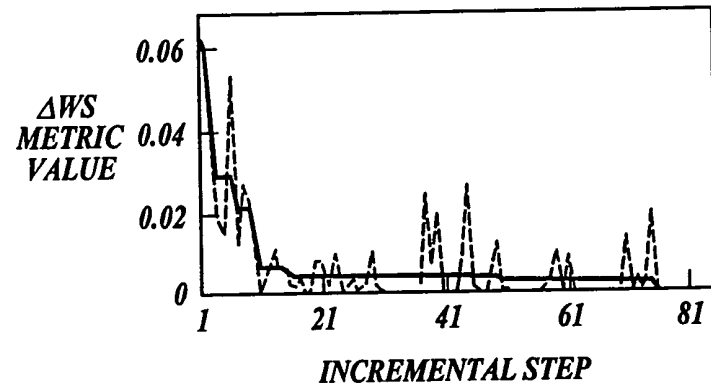
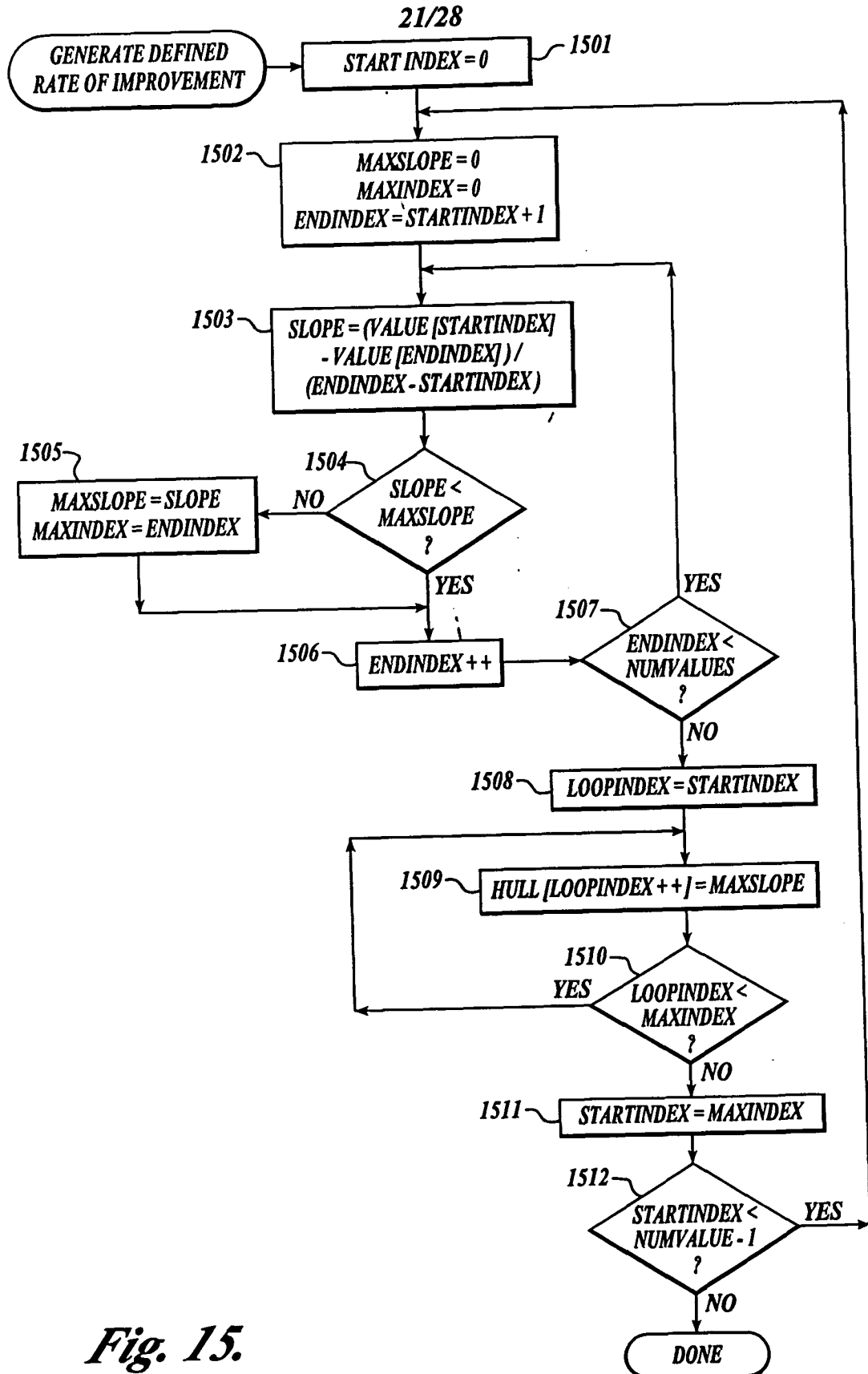


Fig. 14.



22/28

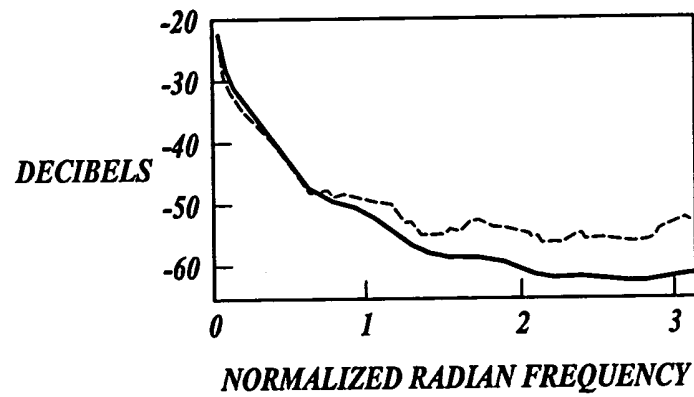


Fig. 16.

23/28

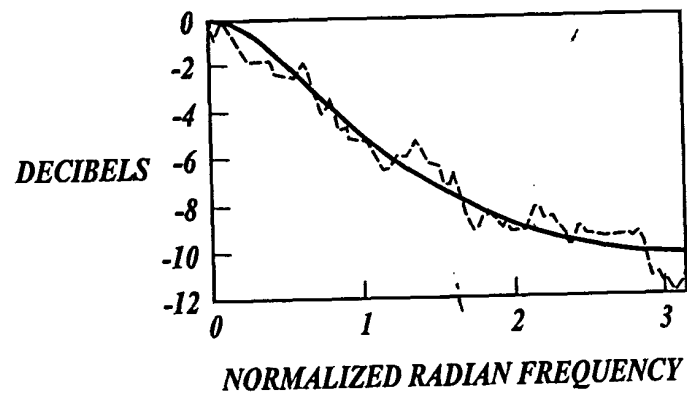


Fig. 17.

24/28

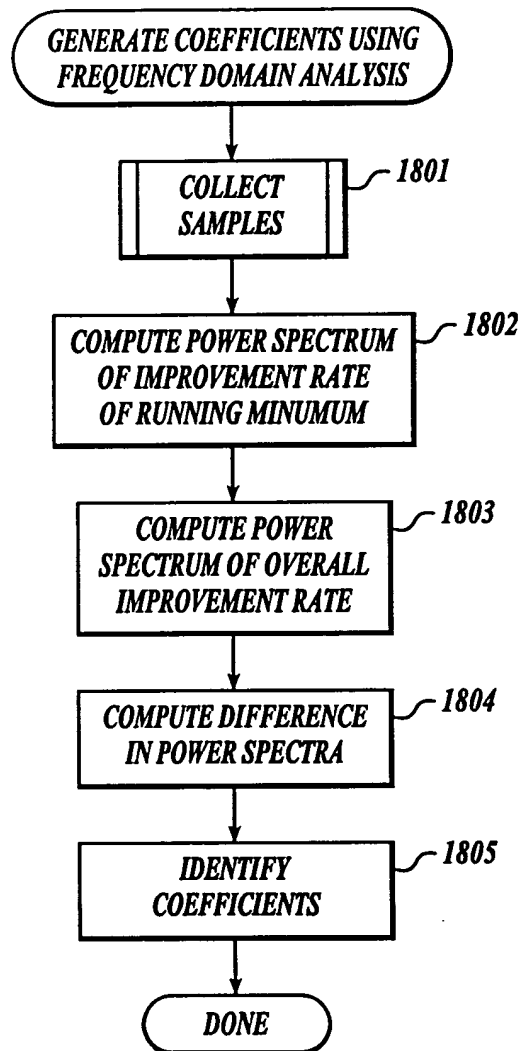


Fig. 18.

25/28

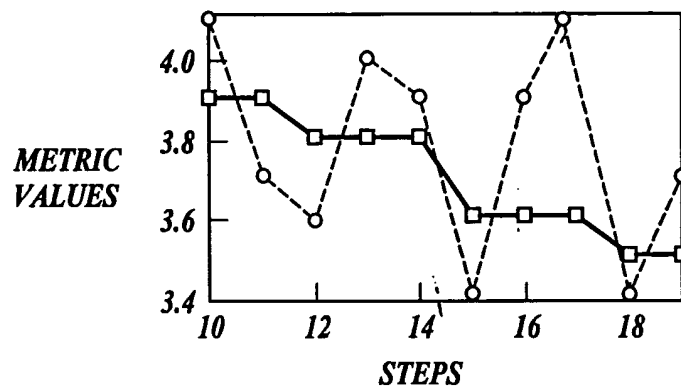


Fig. 19.

26/28

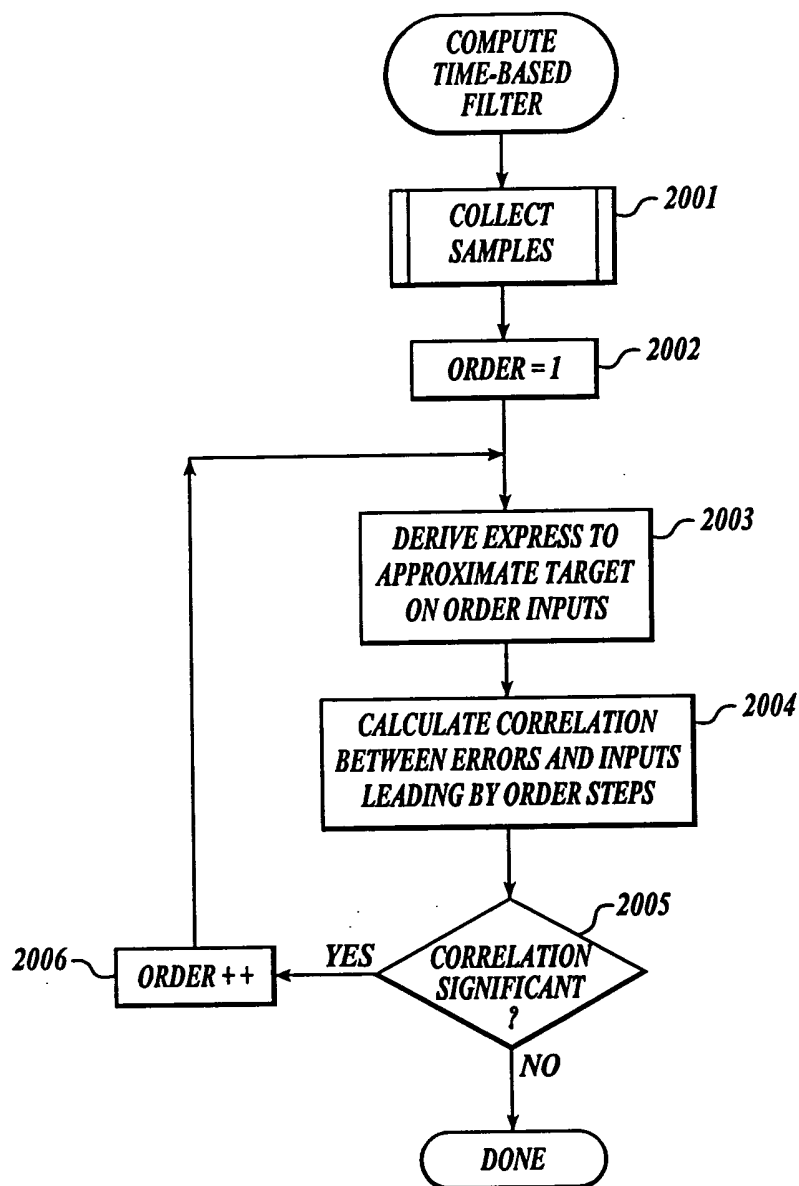


Fig. 20.

27/28

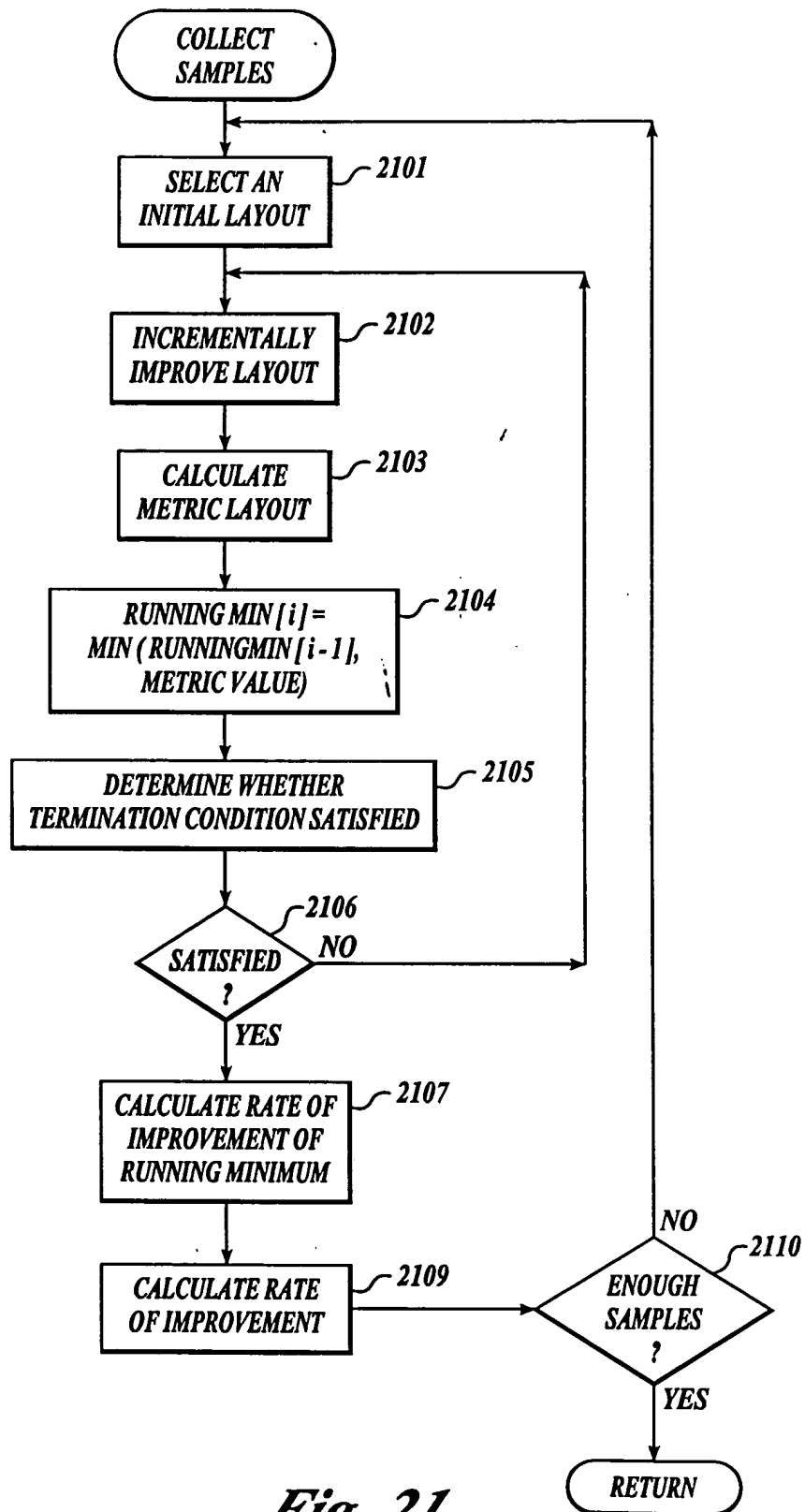


Fig. 21.

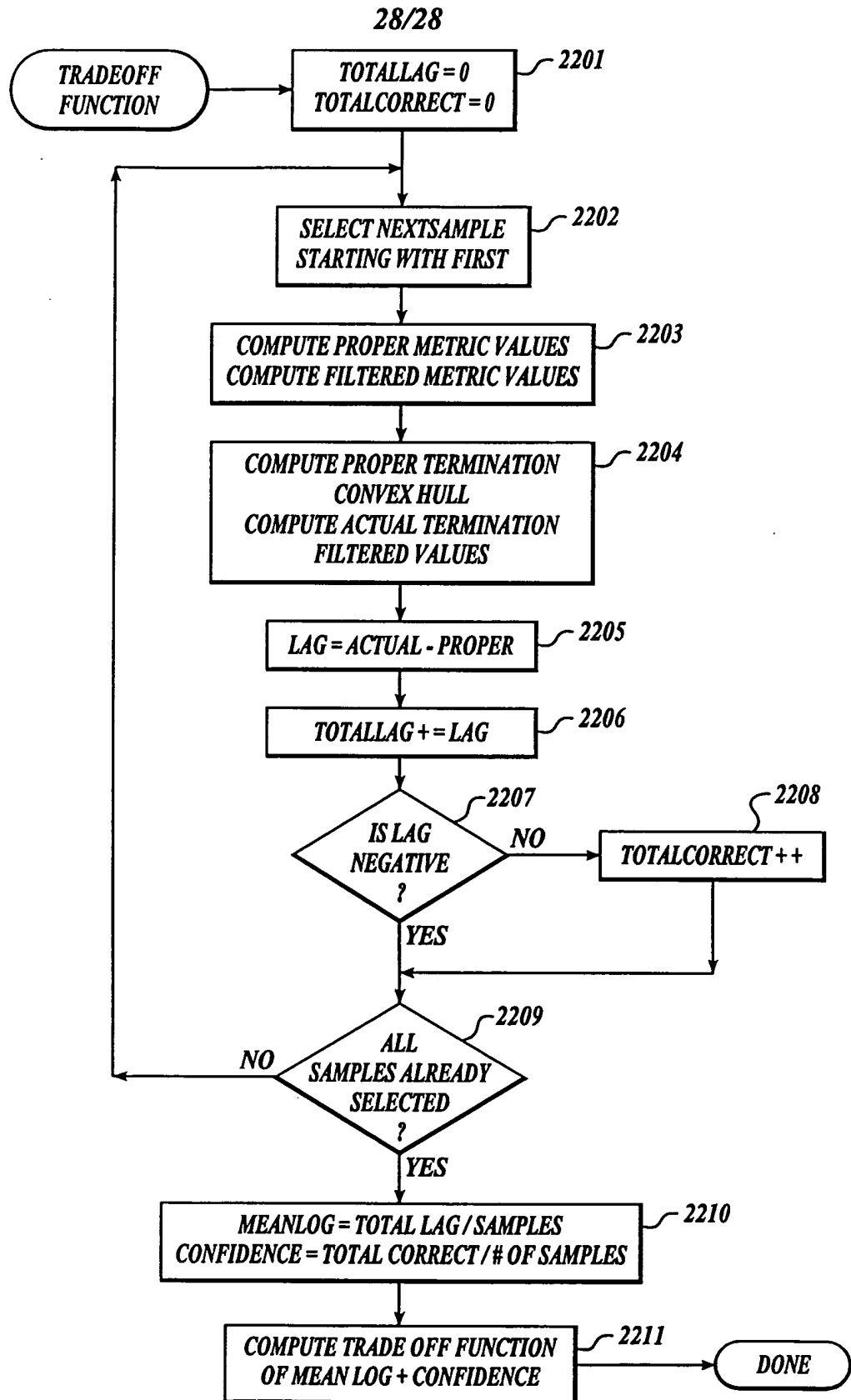


Fig. 22.